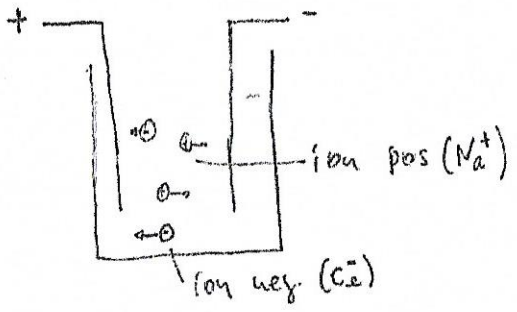


# Estrutura da Matéria

- atomistas gregos - Demócrito
- átomo químico - Dalton
- moléculas - Avogadro
- carga elementar - Faraday

- fenômenos ondulatórios  $\Rightarrow$  luz
- conceito eletromagnético da luz
- relatividade restrita

**Eletrólise: dissociação de substâncias em íons**



Experimento de Faraday (1831-1834)

$$\left(\frac{Q}{M}\right)_{\text{C}i} \sim 2,8 \times 10^3 \text{ C/g} \quad \left(\frac{Q}{M}\right)_{\text{H}^+} \sim 10^5 \text{ C/g} \quad (\text{depende dos íons})$$

↳ massa da substância  
↳ carga depositada

$$\frac{Q}{\text{mols} \times n} = 9,65 \times 10^4 \text{ C} \quad (\text{Lei de Faraday - F}) \Rightarrow$$

↳ valência (nº de hem de das substâncias)

$$\frac{Q}{N \cdot n} = \frac{F}{N_A} = e = 1,6 \times 10^{-19} \text{ C}$$

↳ carga elementar  
↳ nº de íons  
↳ nº de Avogadro

(quantização da carga elétrica)  
Stoney - 1874

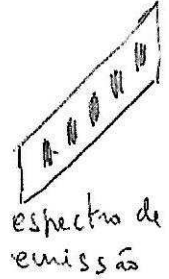
Millikan - 1909  
(carga do elétron)

$$Q = N q_{\text{ion}} \Rightarrow \frac{q_{\text{ion}}}{n} = e \quad (\text{carga elementar}) - \text{quantização da carga}$$

$$\left(\frac{Q}{M}\right) = \frac{q_{\text{ion}}}{m_{\text{ion}}} = \frac{n e}{m_{\text{ion}}} \Rightarrow m_{\text{ion}} = \frac{n e}{(Q/M)}$$

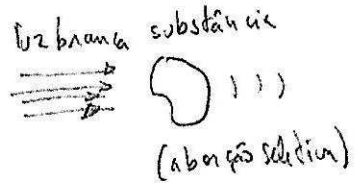
$$m_{\text{H}^+} \sim \frac{1,6 \times 10^{-19}}{10^5} \sim 1,6 \times 10^{-24} \text{ g} \quad (\text{massa do próton})$$

# Espectros copia



espectros de linhas (gases monoatômicos) ou de bandas (metais - sólidos) característicos de cada elemento

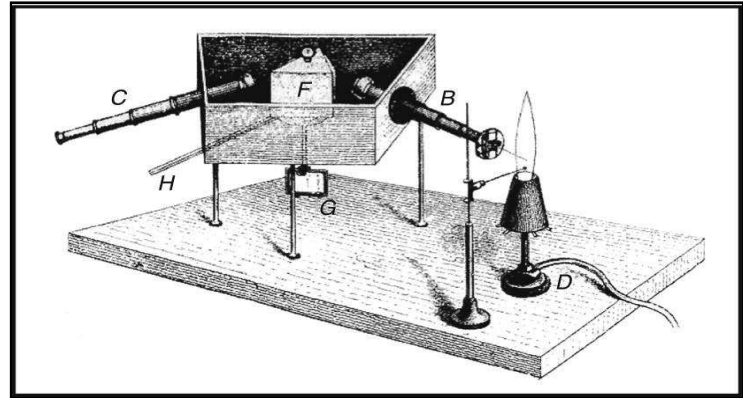
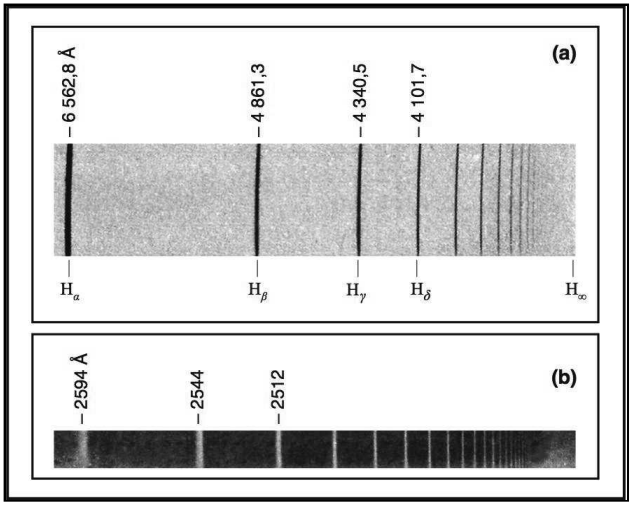
(Sol)



- descobertas de vários elementos (Rb, In, Ta, Ce, He)
- composição da atmosfera solar

ressonância entre a radiação e os átomos  $\Rightarrow$  átomos são sistemas compostos

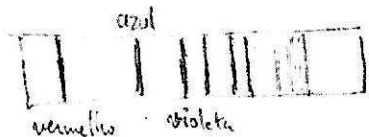
(possuem estrutura capaz de movimentos internos de vibração - osciladores)



# Espectro do hidrogênio

Angstrom (1853)  $\Rightarrow$  Balmer (1885)

$$\lambda = 3645,6 \frac{n^2}{n^2 - 4} \quad (n = 3, 4, 5, \dots)$$



$$1 \text{ \AA} = 10^{-8} \text{ cm}$$

$\text{\AA}$  (Angstrom)

Rydberg (1888)  $\Rightarrow$

$$\frac{1}{\lambda} = R_H \left( \frac{1}{2^2} - \frac{1}{n^2} \right)$$

$$R_H \approx 10^5 \text{ cm}^{-1} \quad (\text{cte de Rydberg})$$

Ritz

$$\Rightarrow \frac{1}{\lambda} = R \left( \frac{1}{m^2} - \frac{1}{n^2} \right) \quad n > m$$



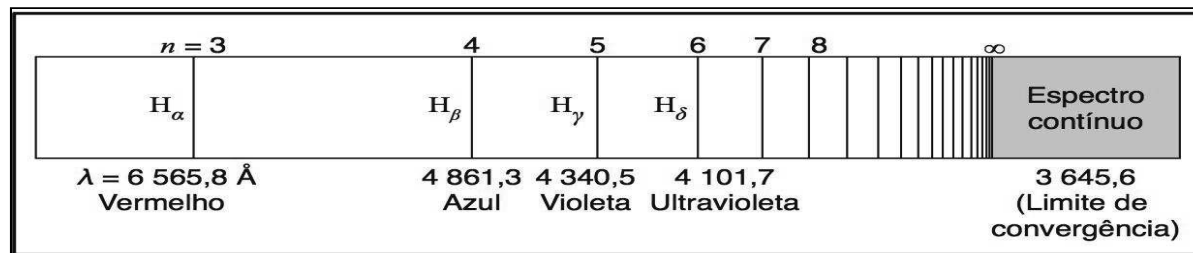
$$\nu_{nm} = cR \left( \frac{1}{m^2} - \frac{1}{n^2} \right)$$

$$= \nu_{ne} - \nu_{em} \quad (\text{Princípio de Ritz})$$

qualquer linha resulta da combinação de termos espectrais

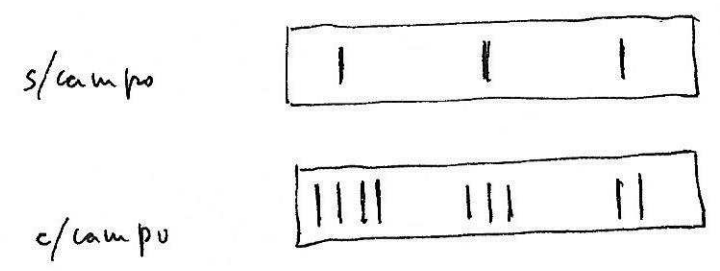
Discretização da radiação emitida ou absorvida pelo hidrogênio e outros gases reforça a ideia de átomos osciladores compostos de cargas positivas e negativas.

Série	Região do espectro	m	n	Ano
Lyman	Ultravioleta	1	2,3, ...	1906-14
Balmer	Ultravioleta e visível	2	3,4, ...	1885
Paschen	Infravermelho	3	4,5, ...	1908
Brackett	Infravermelho	4	5,6, ...	1922
Pfund	Infravermelho	5	6,7, ...	1924



# Efeito Zeeman (1897)

- desdobramento das linhas espectrais em um campo magnético
- um conjunto de redes de difração com maior poder de resolução (600 linhas/mm)
- campos magnéticos mais intensos ( $10^4$  G - bobina de Ruhmkoff)

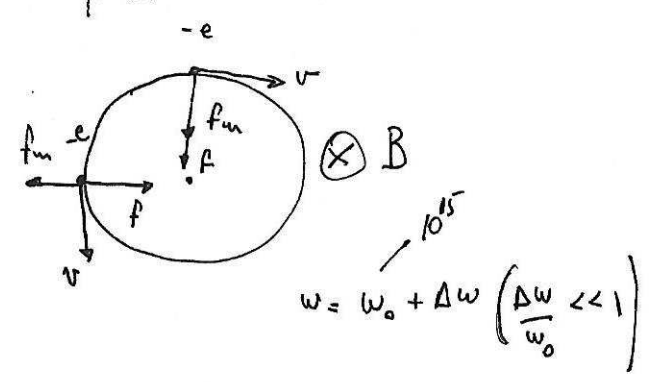


desdobramento em 2, 3 (normal) ou mais linhas (anômalo)

Lorentz (1897) - considera que os átomos (osciladores) contêm partículas c/ carga negativa (elétrons), que sob a ação de um campo magnético obedece à eq. de mov. de Newton

oscilador (equivalente a 2 mov. circulares)  $\rightarrow$   $ma = \underbrace{f(n)}_{\substack{\text{força} \\ \text{elástica}}} \pm \underbrace{evB}_{\text{força de Lorentz}}$

$w_n^2$  (mov. circular)



$$\begin{cases} B=0 \Rightarrow m w_0^2 n = f(n) \\ B \neq 0 \Rightarrow m w_n^2 = f(n) \pm e w n B \end{cases} \Rightarrow m \frac{(w-w_0)(w+w_0)}{\Delta w \cdot 2w} = \pm e w n B \Rightarrow \Delta w = \pm \left( \frac{e}{2m} \right) B$$

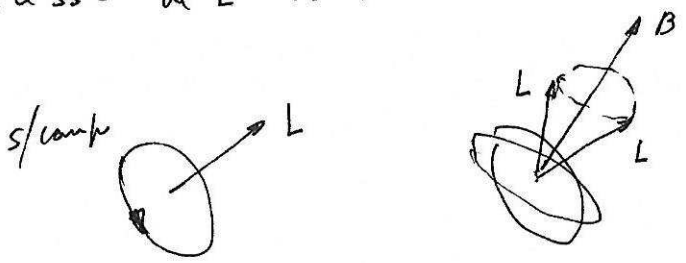
$\frac{e}{2m}$  (razão giromagnética)

$P/B = 1T = 10^4 \text{ G} \Rightarrow \Delta w \sim 10^{11} \text{ Hz} \Rightarrow \left( \frac{e}{m} \right)_{\text{Zeeman}} \sim 1.76 \times 10^{11} \text{ C/kg}$

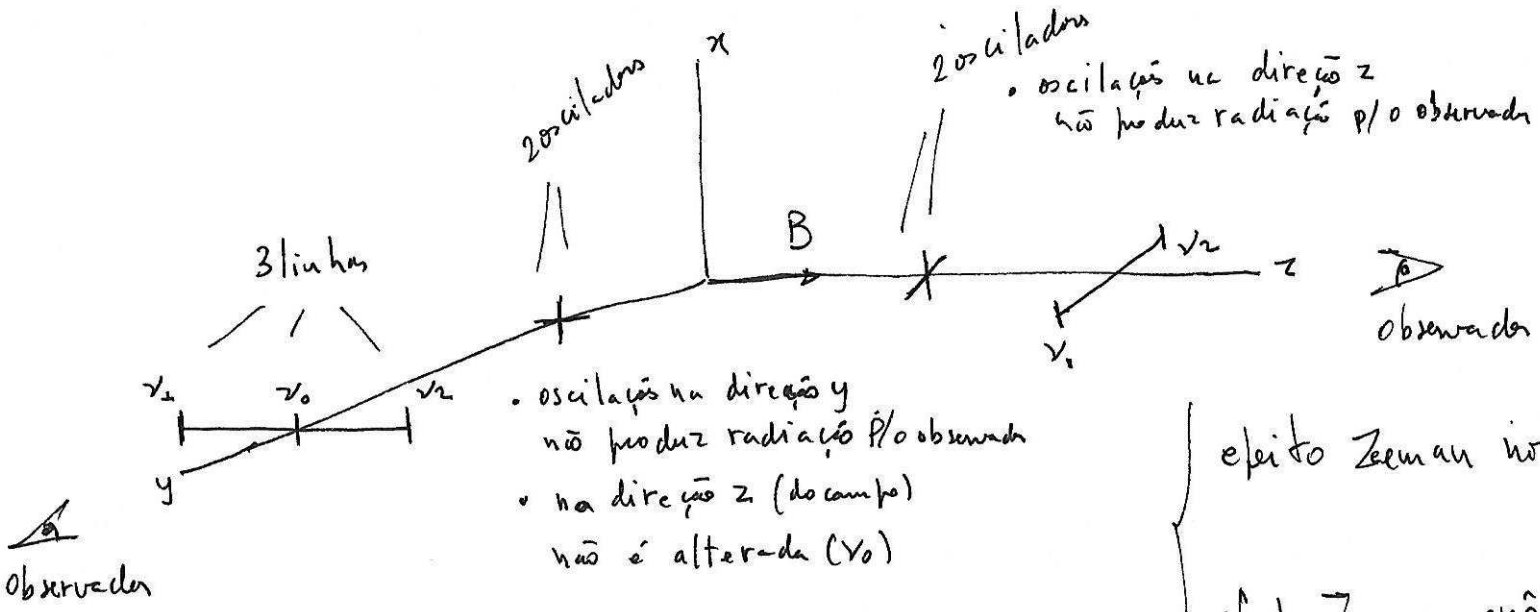
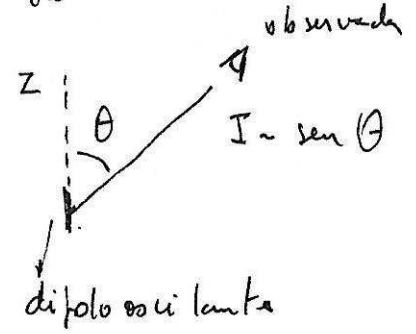
Como o plano do mov. não é necessariamente perpendicular ao campo magnético, Larmor interpreta, corretamente,  $\Delta\omega$  com a freq.  $\Omega$  que o eixo da órbita precessa em torno da direção do campo.

$$\Omega = \gamma_e B \text{ (freq. de Larmor)}$$

sendo o eixo da órbita a direção do momentum angular (L) do "elétron",  $\Omega$  é a freq. de precessão de L em torno de B

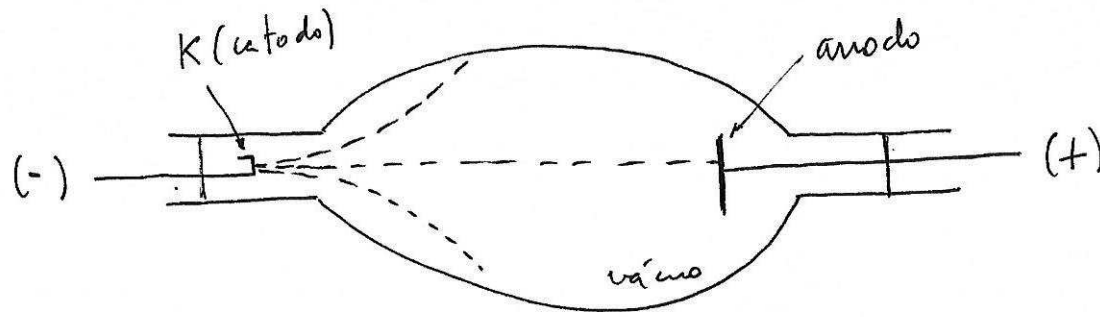


$$\Delta\omega = \pm \gamma_e B \Rightarrow \begin{cases} \omega_1 = \omega_0 - \gamma_e B < \omega_0 \\ \omega_2 = \omega_0 + \gamma_e B > \omega_0 \end{cases}$$



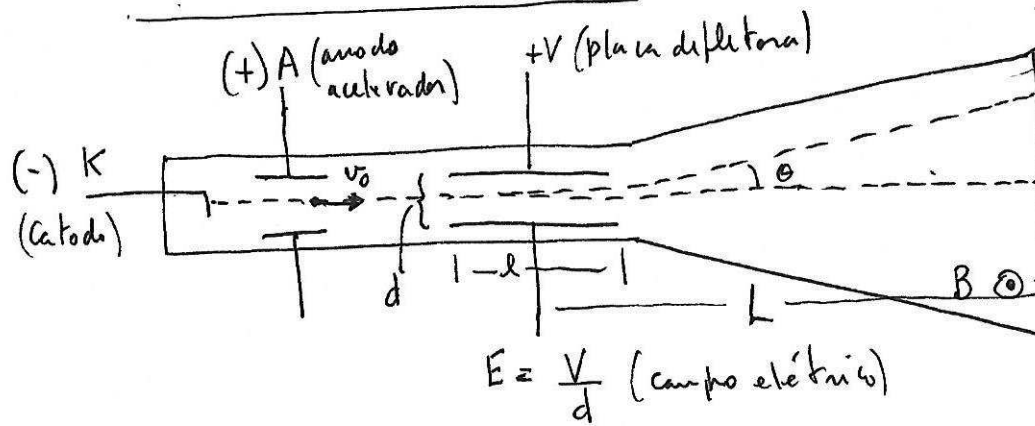
efeito Zeeman normal (momentum orbital)  $\rightarrow$  2 ou 3 linhas  
 efeito Zeeman anômalo (spin + orbital)  $\rightarrow$  3 linhas (mais comum)

Raios catódicos - Geissler (1859) -  $10^{-2}$  mmHg (técnicas de vácuo)



- deflexão por campos magnéticos e elétricos
- carga negativa
- mesma carga de campo do íon de hidrogênio (?)

Experimentos de Thomson (1897)



deflexão eletrostática

$B=0$   
 $B \neq 0$  (eq.)  
 $B \odot$  - campo magnético

$$\begin{cases} v_x = v_0 \\ v_y = e \frac{E}{m} t \end{cases} \Rightarrow v_y(t=l/v_0) = \frac{e E l}{m v_0} (?)$$

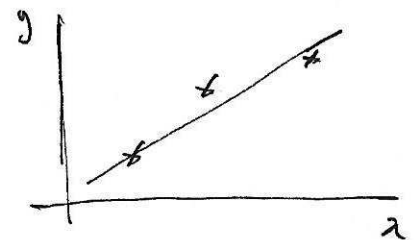
$$E = v_0 B \Rightarrow v_0 = \frac{E}{B} \sim \frac{3 \times 10^4 \text{ V/m}}{10^{-3} \text{ T}} \sim 3 \times 10^7 \text{ m/s}$$

(condição de equilíbrio)

$$\tan \theta = \frac{v_y}{v_x} = \frac{e E l}{m v_0^2} = \frac{y}{L} \Rightarrow g = \left( \frac{e}{m} \right) \left( \frac{l L B^2}{E} \right)$$

(reta de ajuste)

$$\left( \frac{e}{m} \right)_{\text{Thomson}} \sim 10^{11} \text{ C/kg}$$



veloc. grande (0.1c) reflete a ideia de que  $m_e \ll m_H+$

# Hipóteses e conclusões de Thomson (a descoberta do elétron)

(7)

$$\left(\frac{e}{m}\right)_{\text{raios catódicos}} \sim 10^{11} \text{ C/kg} >> \left(\frac{e}{m}\right)_{\text{H}^+} \sim 10^8 \text{ C/kg} \implies \begin{cases} q_e \gg q_{\text{H}^+} \\ 0 \\ m_e \ll m_{\text{H}^+} \end{cases} \quad \left(\frac{e}{m}\right)_{\text{raios catódicos}} \sim 2000 \left(\frac{e}{m}\right)_{\text{H}^+}$$

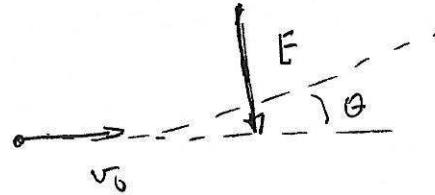
- $m_e \ll m_{\text{H}^+}$
- carga de mesmo valor que a carga elementar de eletrólise?
- primeira partícula elementar  $\rightarrow$  elétron
- átomos neutros  $\implies$  constituintes dos átomos, junto a cargas positivas (modelo atômico de Thomson)

## Experimentos de Kaufman (1901)

(8)

- elétrons ( $\beta$ )  $\Rightarrow$  maiores velocidades ( $v/c \sim 0.9c$ )  
(radioatividade)
- compatíveis com a Eletrodinâmica de Einstein

$$\begin{cases} p_x = \gamma(v_0) m v_0 \quad (\text{cte}) \\ p_y = e E t \Rightarrow p_y(t = L/v_0) = \frac{e E L}{v_0} \end{cases}$$

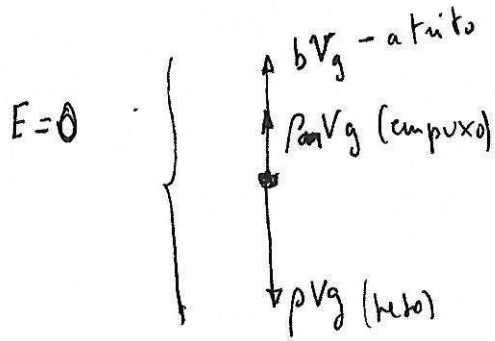


$$\tan \theta = \frac{p_y}{p_x} = \frac{e E L}{\gamma m v_0^2} = \frac{y}{L} \Rightarrow y = \frac{1}{\gamma} \left( \frac{e}{m} \right) \left( \frac{L B^2}{E} \right)$$

menor deflexão que  
o experimento de Thomson

# Experimento de Millikan (1911)

- medição da carga do elétron



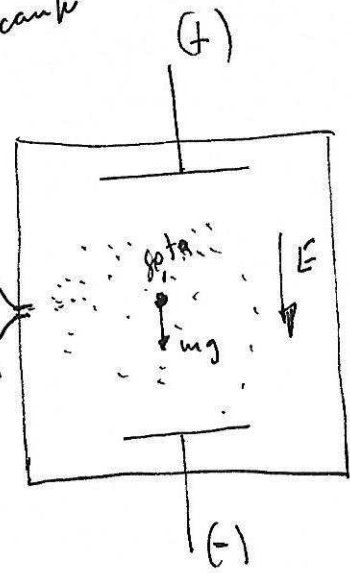
$$\rho V_g = \rho_{ar} V_g + b v_g$$

$$v_g = \frac{2a^2 (\rho - \rho_{ar}) g}{9\eta}$$

veloc. terminal na ausência de campo

gotas de óleo

vaporizador



$a$  - raio da gota

$$V = \frac{4}{3} \pi a^3$$

$b = 6\pi\eta a$  coef. de viscosidade

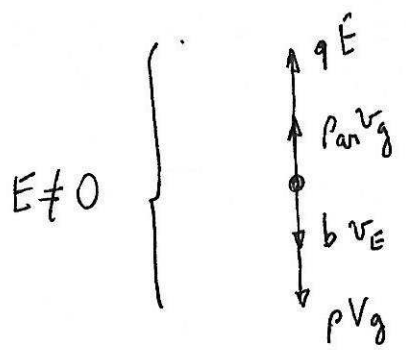
veloc. terminal na presença do campo

$$\rho V_g + b v_E = \rho_{ar} V_g + qE$$

$$b(v_g + v_E) = qE \implies q = \left( \frac{6\pi\eta a}{E} \right) (v_E + v_g)$$

medido várias vezes

medido na ausência do campo



resultado de Millikan :  $q \approx n \times \underbrace{1.6 \times 10^{-19}}_{\text{carga elementar do elétron}} \text{ C}$

Combinando resultados :

$$m_{\text{elétron}} = \frac{(e)_{\text{Millikan}}}{(e/m)_{\text{Zeeman}}} \sim 9.1 \times 10^{-31} \text{ kg}$$

